

# Эффективные методы глобальной оптимизации для решения задач оптимального управления

К.А. Баркалов М.А. Кочеганова С.А. Бевзюк А.А. Федюков

ННГУ им. Н.И. Лобачевского



## Задача поиска $H_\infty$ -динамического регулятора

Рассматривается задача поиска  $H_\infty$ -динамического регулятора для обратного маятника с подвижным основанием.

$$\dot{x} = Ax + B_1 v + B_2 u \quad (1)$$

Известно [1], что для существования регулятора с наименьшим уровнем гашения возмущений  $\gamma > 0$  необходимо и достаточно, чтобы существовала матрица  $X = X^T > 0$ , удовлетворяющая двум матричным неравенствам, одно из которых не является выпуклым, т.к. зависит от обратной матрицы  $X^{-1}$ :

$$W_P^T \begin{bmatrix} A_0^T X + X A_0 & X B_0 & C_0^T \\ B_0^T X & -\gamma I & 0 \\ C_0 & 0 & -\gamma I \end{bmatrix} W_P < 0 \quad (2)$$

$$W_R^T \begin{bmatrix} X^{-1} A_0^T + A_0 X^{-1} & B_0 & X^{-1} C_0^T \\ B_0^T & -\gamma I & 0 \\ C_0 X^{-1} & 0 & -\gamma I \end{bmatrix} W_R < 0 \quad (3)$$

Возникает задача поиска минимального значения  $\gamma$  при ограничениях (2) и (3). Причем неравенство (3) не может быть представлено в виде линейного матричного неравенства, т.е. данную задачу нельзя решить стандартными методами выпуклой оптимизации в сочетании с методами решения линейных матричных неравенств, реализованными, например, в MATLAB Robust Toolbox. Требуется использование методов, обладающих сходимостью к глобальному экстремуму.

## Задача глобальной оптимизации

Общая постановка задачи глобальной оптимизации с ограничениями:

$$\varphi(y^*) = \min\{\varphi(y) : y \in D\}, D = \{x \in \mathbf{R}^n : g_j(x) \leq 0, j = \overline{1, m}\}$$

Предполагается, что все функции задачи удовлетворяют условию Липшица:

$$|f(y_1) - f(y_2)| \leq L \|y_1 - y_2\|, y_1, y_2 \in D, 0 < L < \infty$$

Целевая функция и ограничения могут быть невыпуклы, многоэкстремальны, недифференцируемы.

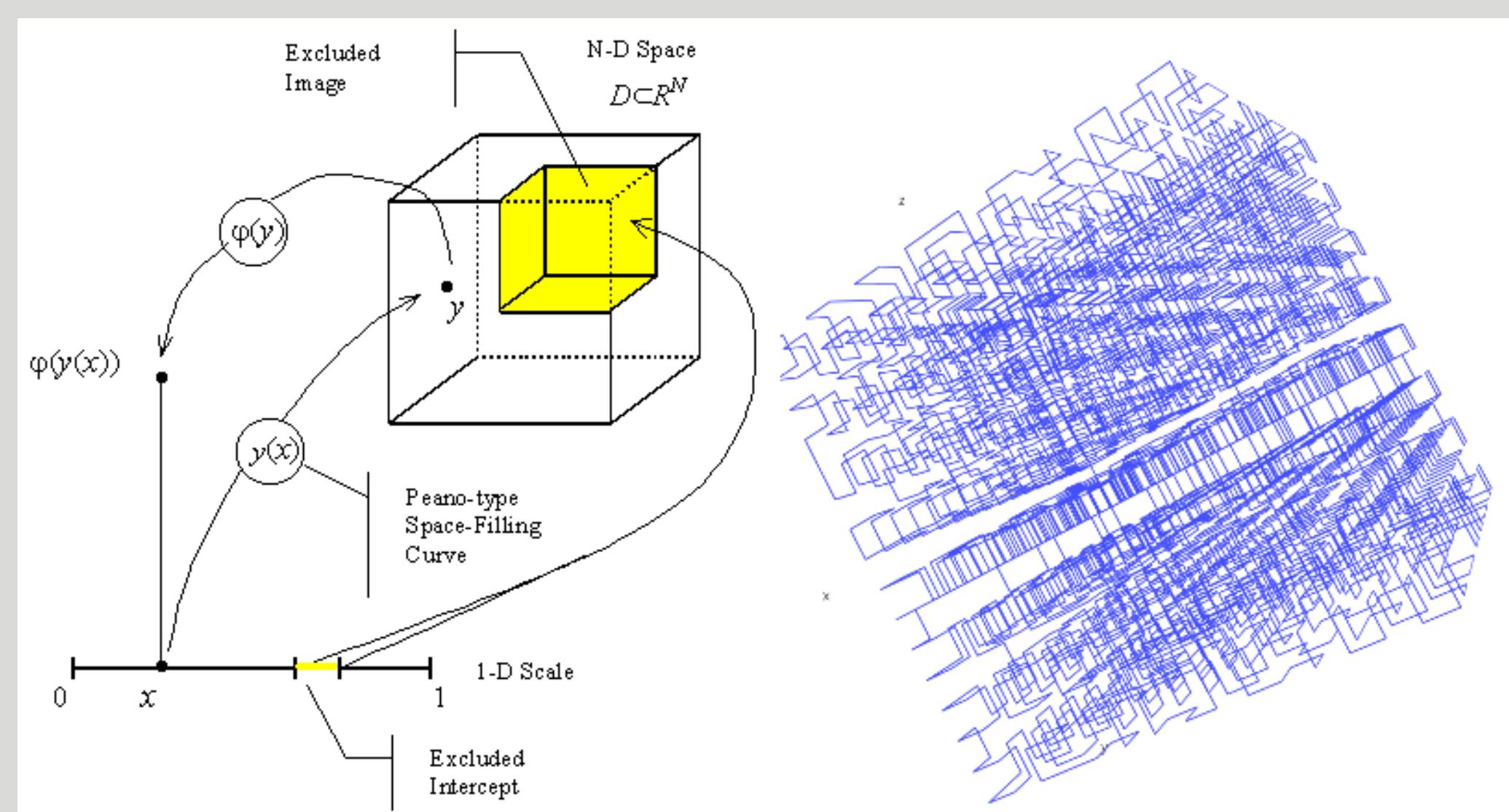
## Метод глобальной оптимизации

Задача оптимизации решается Алгоритмом Глобального Поиска (АГП), предложенным Р.Г. Стронгиным [2]. При этом решение многомерной задачи сводится к решению эквивалентной ей одномерной задачи с помощью развертки Пеано, отображающей отрезок  $[0, 1]$  на гиперкуб  $D$ .

Общая схема одной итерации одномерного метода:

1. Упорядочить точки предшествующих испытаний в порядке возрастания их координат:  $a = x_0 < \dots < x_i < \dots < x_k = b$ .
2. Вычислить для каждого интервала  $(x_{i-1}; x_i)$ ,  $1 \leq i \leq k$  характеристику  $R(i)$ .
3. Определить интервал  $(x_{i-1}; x_i)$ , которому соответствует максимальная характеристика  $R(i) = \max\{R(i), 1 \leq i \leq k\}$ .
4. Провести следующее испытание в точке  $x^{k+1} = d(t) \in (x_{i-1}; x_i)$ , где  $d(t)$  — правило размещения точки следующего испытания в интервале с номером  $t$ .
5. Проверить выполнение критерия остановки  $x_t - x_{t-1} < \varepsilon$ .

Подробное описание АГП, а также специальной схемы учёта ограничений (без использования штрафных функций) можно найти в [2].



## Параллельные версии метода оптимизации

Существует несколько способов распараллеливания алгоритма глобального поиска (АГП):

- Распараллеливание по характеристикам в рамках системы с общей памятью. На шаге 2 вместо одного интервала выбираются  $p$  интервалов с наилучшими характеристиками и в них параллельно проводятся испытания.
- Распараллеливание по развёрткам в рамках системы с отдельной памятью. На каждом узле системы работает копия метода, использующая уникальную развёртку. Копии метода обмениваются многомерными точками, однако одномерные прообразы этих точек различны для каждого метода. При использовании  $L$  развёрток каждый метод дополнительно получает  $L - 1$  точку в свою поисковую информацию на каждой итерации, что ускоряет его сходимость.
- Сочетание указанных выше подходов.

В [3] перечисленные схемы описаны более подробно.

## Результаты

Решена модельная задача, связанная со стабилизацией плоского перевернутого маятника с подвижным основанием. Найдены параметры регулятора  $\theta$  и соответствующее им минимальное значение уровня гашения возмущений  $\gamma$ . Размерность (число параметров) возникающей при этом задачи глобальной оптимизации  $N = 7$ .

Таблица 1: Сравнение последовательного и параллельного алгоритма

Алгоритм	Время решения задачи (сек.)
Последовательный алгоритм	125
Параллельный алгоритм (4 ядра)	82
Ускорение	1.5

Эксперименты проводились в системе Globalizer [4] на узле кластера «Лобачевский», CPU Intel Core i7 (3.6 GHz).

## Дальнейшая работа

1. В процессе решения задачи обнаружен эффект резкого роста константы Липшица для функций ограничений задачи, что существенно затрудняет поиск глобального экстремума. Планируется разработать подход к учету и обработке подобных ситуаций (идентификация и исключение из рассмотрения подобластей, в которых происходит скачкообразное изменение значений функции).
2. Вычисление ограничений задачи сводится к обращению матрицы  $X$  и поиску собственных чисел матриц из правой части ограничений (2), (3). Планируется распараллелить данные операции, что будет актуальным при поиске динамических регуляторов для задач вида (1) большой размерности.

## Литература

1. Баландин Д.В. Коган М.М. — Синтез законов управления на основе линейных матричных неравенств. — Москва : Физматлит, 2007.
2. Strongin R.G., Sergeyev Ya.D. — Global optimization with non-convex constraints. Sequential and parallel algorithms. — Dordrecht : Kluwer Academic Publishers, 2000.
3. Стронгин Р.Г. Гержель В.П. Гришагин В.А. Баркалов К.А. — Параллельные вычисления в задачах глобальной оптимизации. — Москва : Издательство Московского университета, 2013.
4. Gergel V., Barkalov K., Sysoyev A. — Globalizer: A Novel Supercomputer Software System for Solving Time-Consuming Global Optimization Problems. — // Numerical Algebra, Control and Optimization. — 2018. — Т. 8(1). — С. 47—62.